

# 10. AVL Bäume

---

Balancierte Bäume [Ottman/Widmayer, Kap. 5.2-5.2.1, Cormen et al, Kap. Problem 13-3]

# Ziel

Suchen, Einfügen und Entfernen eines Schlüssels in Baum mit  $n$  Schlüssel, welche in zufälliger Reihenfolge eingefügt wurden im Mittel in  $\mathcal{O}(\log_2 n)$  Schritten.

Schlechtester Fall jedoch:  $\Theta(n)$  (degenerierter Baum).

**Ziel:** Verhinderung der Degenerierung. Künstliches, bei jeder Update-Operation erfolgtes Balancieren eines Baumes

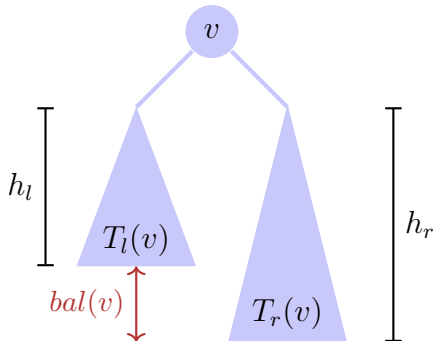
Balancierung: garantiere, dass ein Baum mit  $n$  Knoten stets eine Höhe von  $\mathcal{O}(\log n)$  hat.

**Adelson-Venskii und Landis (1962): AVL-Bäume**

# Balance eines Knotens

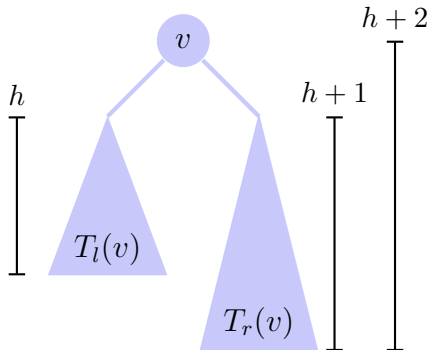
Die **Balance** eines Knotens  $v$  ist definiert als die Höhendifferenz seiner beiden Teilbäume  $T_l(v)$  und  $T_r(v)$

$$\text{bal}(v) := h(T_r(v)) - h(T_l(v))$$

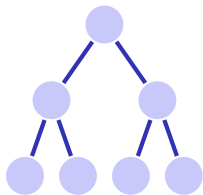


# AVL Bedingung

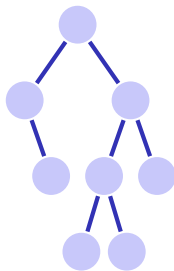
**AVL Bedingung:** für jeden Knoten  $v$  eines Baumes gilt  $\text{bal}(v) \in \{-1, 0, 1\}$



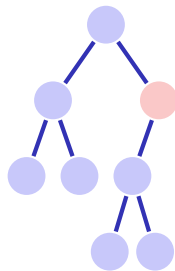
# (Gegen-)Beispiele



AVL Baum der Höhe 2



AVL Baum der Höhe 3

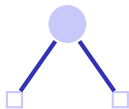


Kein AVL Baum

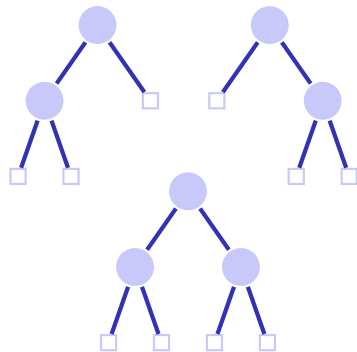
# Anzahl Blätter

- 1. Beobachtung: Ein Suchbaum mit  $n$  Schlüsseln hat genau  $n + 1$  Blätter. Einfaches Induktionsargument.
  - Der Suchbaum mit  $n = 0$  Schlüsseln hat  $m = 1$  Blätter
  - Wird ein Schlüssel (Knoten) hinzugefügt ( $n \rightarrow n + 1$ ), so ersetzt er ein Blatt und fügt zwei Blätter hinzu ( $m \rightarrow m - 1 + 2 = m + 1$ ).
- 2. Beobachtung: untere Grenze für Anzahl Blätter eines Suchbaums zu gegebener Höhe erlaubt Abschätzung der maximalen Höhe eines Suchbaums zu gegebener Anzahl Schlüssel.

# Untere Grenze Blätter



AVL Baum der Höhe 1 hat  
 $N(1) := 2$  Blätter



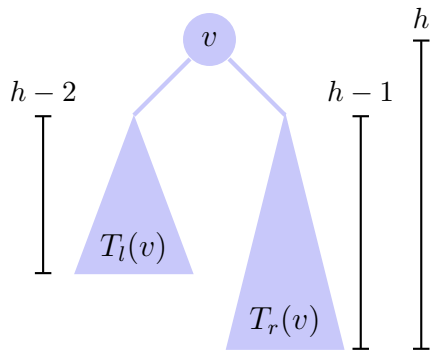
AVL Baum der Höhe 2 hat  
mindestens  $N(2) := 3$  Blätter

## Untere Grenze Blätter für $h > 2$

- Höhe eines Teilbaums  $\geq h - 1$ .
- Höhe des anderen Teilbaums  $\geq h - 2$ .

Minimale Anzahl Blätter  $N(h)$  ist

$$N(h) = N(h - 1) + N(h - 2)$$



Insgesamt gilt  $N(h) = F_{h+2}$  mit **Fibonacci-Zahlen**  $F_0 := 0$ ,  $F_1 := 1$ ,  
 $F_n := F_{n-1} + F_{n-2}$  für  $n > 1$ .

# Fibonacci Zahlen, geschlossene Form

Es gilt

$$F_i = \frac{1}{\sqrt{5}}(\phi^i - \hat{\phi}^i)$$

mit den Wurzeln  $\phi, \hat{\phi}$  der Gleichung vom goldenen Schnitt  $x^2 - x - 1 = 0$ :

$$\phi = \frac{1 + \sqrt{5}}{2} \approx 1.618$$

$$\hat{\phi} = \frac{1 - \sqrt{5}}{2} \approx -0.618$$

# Fibonacci Zahlen, Induktiver Beweis

$$F_i \stackrel{!}{=} \frac{1}{\sqrt{5}}(\phi^i - \hat{\phi}^i) \quad [*] \quad \left(\phi = \frac{1+\sqrt{5}}{2}, \hat{\phi} = \frac{1-\sqrt{5}}{2}\right).$$

1. Klar für  $i = 0, i = 1$ .
2. Sei  $i > 2$  und Behauptung  $[*]$  wahr für alle  $F_j, j < i$ .

$$\begin{aligned} F_i &\stackrel{\text{def}}{=} F_{i-1} + F_{i-2} \stackrel{[*]}{=} \frac{1}{\sqrt{5}}(\phi^{i-1} - \hat{\phi}^{i-1}) + \frac{1}{\sqrt{5}}(\phi^{i-2} - \hat{\phi}^{i-2}) \\ &= \frac{1}{\sqrt{5}}(\phi^{i-1} + \phi^{i-2}) - \frac{1}{\sqrt{5}}(\hat{\phi}^{i-1} + \hat{\phi}^{i-2}) = \frac{1}{\sqrt{5}}\phi^{i-2}(\phi + 1) - \frac{1}{\sqrt{5}}\hat{\phi}^{i-2}(\hat{\phi} + 1) \end{aligned}$$

$(\phi, \hat{\phi}$  erfüllen  $x + 1 = x^2$ )

$$= \frac{1}{\sqrt{5}}\phi^{i-2}(\phi^2) - \frac{1}{\sqrt{5}}\hat{\phi}^{i-2}(\hat{\phi}^2) = \frac{1}{\sqrt{5}}(\phi^i - \hat{\phi}^i).$$

# Baumhöhe

Da  $|\hat{\phi}| < 1$ , gilt insgesamt

$$N(h) \in \Theta\left(\left(\frac{1 + \sqrt{5}}{2}\right)^h\right) \subseteq \Omega(1.618^h)$$

und somit

$$\begin{aligned} N(h) &\geq c \cdot 1.618^h \\ \Rightarrow h &\leq 1.44 \log_2 n + c'. \end{aligned}$$

Ein AVL Baum ist asymptotisch nicht mehr als 44% höher als ein perfekt balancierter Baum.<sup>5</sup>

---

<sup>5</sup>Ein perfekt balancierter Baum hat Höhe  $\lceil \log_2 n + 1 \rceil$

# Einfügen

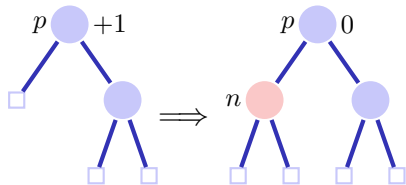
## Balancieren

- Speichern der Balance für jeden Knoten
- Baum rebalancieren bei jeder Update-Operation

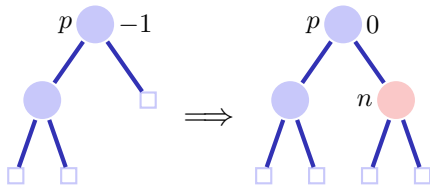
Neuer Knoten  $n$  wird eingefügt:

- Zuerst einfügen wie bei Suchbaum.
- Prüfe die Balance-Bedingung für alle Knoten aufsteigend von  $n$  zur Wurzel.

# Balance am Einfügeort



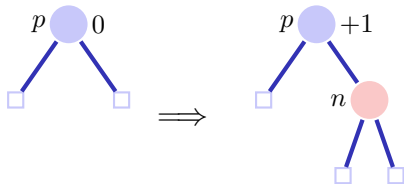
Fall 1:  $\text{bal}(p) = +1$



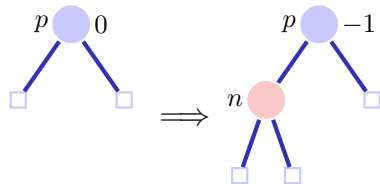
Fall 2:  $\text{bal}(p) = -1$

Fertig in beiden Fällen, denn der Teilbaum ist nicht gewachsen.

# Balance am Einfügeort



Fall 3.1:  $\text{bal}(p) = 0$  rechts



Fall 3.2:  $\text{bal}(p) = 0$ , links

In beiden Fällen noch nicht fertig. Aufruf von **upin(p)**.

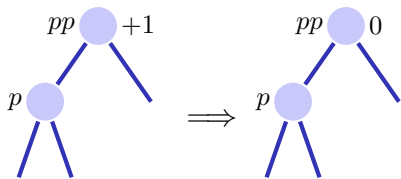
# upin(p) - Invariante

Beim Aufruf von **upin(p)** gilt, dass

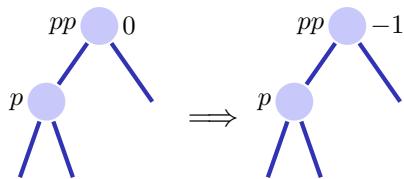
- der Teilbaum ab  $p$  gewachsen ist und
- $\text{bal}(p) \in \{-1, +1\}$

# upin(p)

Annahme:  $p$  ist linker Sohn von  $pp^6$



Fall 1:  $\text{bal}(pp) = +1$ , fertig.



Fall 2:  $\text{bal}(pp) = 0$ , **upin(pp)**

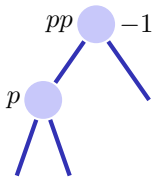
In beiden Fällen gilt nach der Operation die AVL-Bedingung für den Teilbaum ab  $pp$

---

<sup>6</sup>Ist  $p$  rechter Sohn: symmetrische Fälle unter Vertauschung von  $+1$  und  $-1$

# upin(p)

Annahme:  $p$  ist linker Sohn von  $pp$



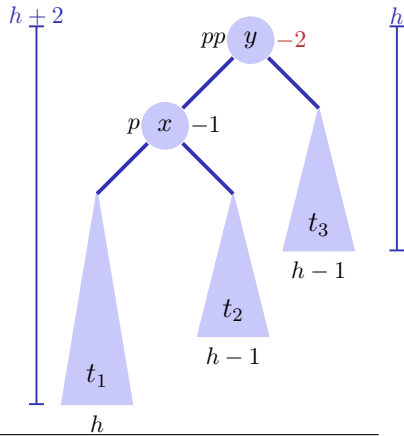
Fall 3:  $\text{bal}(pp) = -1,$

Dieser Fall ist problematisch: das Hinzufügen von  $n$  im Teilbaum ab  $pp$  hat die AVL-Bedingung verletzt. Rebalancieren!

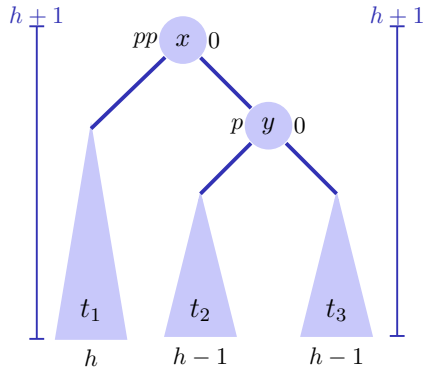
Zwei Fälle  $\text{bal}(p) = -1, \text{bal}(p) = +1$

# Rotationen

Fall 1.1  $\text{bal}(p) = -1$ .<sup>7</sup>



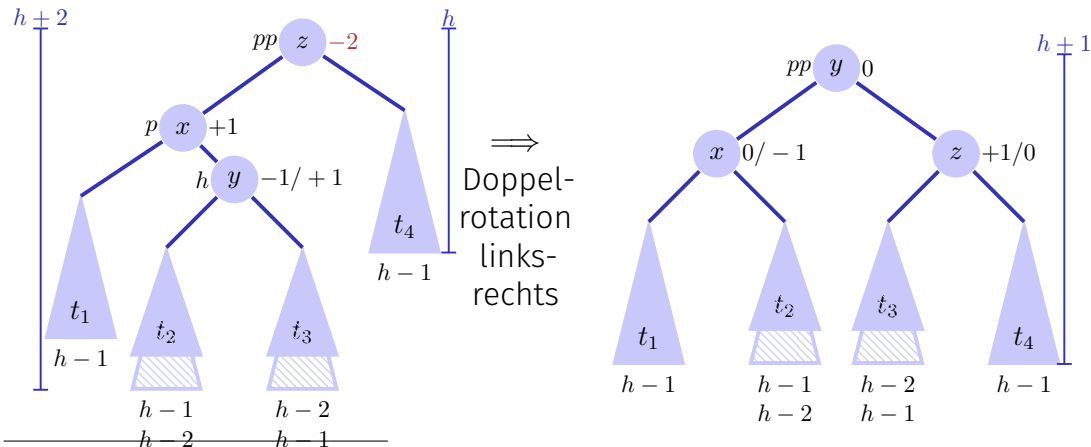
$\Rightarrow$   
Rotation  
nach  
rechts



<sup>7</sup> $p$  rechter Sohn  $\Rightarrow \text{bal}(pp) = \text{bal}(p) = +1$ , Linksrotation

# Rotationen

Fall 1.2  $\text{bal}(p) = +1$ .<sup>8</sup>



$\Rightarrow$   
Doppel-  
rotation  
links-  
rechts

<sup>8</sup> $p$  rechter Sohn  $\Rightarrow \text{bal}(pp) = +1, \text{bal}(p) = -1$ , Doppelrotation rechts links

# Analyse

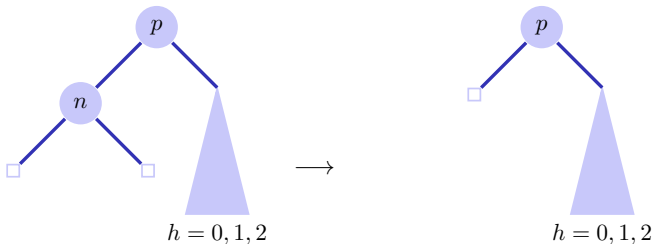
- Höhe des Baumes:  $\mathcal{O}(\log n)$ .
- Einfügen wie beim binären Suchbaum.
- Balancieren durch Rekursion vom Knoten zur Wurzel. Maximale Pfadlänge  $\mathcal{O}(\log n)$ .

Das Einfügen im AVL-Baum hat Laufzeitkosten von  $\mathcal{O}(\log n)$ .

# Löschen

Fall 1: Knoten  $n$  hat zwei Blätter als Kinder Sei  $p$  Elternknoten von  $n$ .  $\Rightarrow$  Anderer Teilbaum hat Höhe  $h' = 0, 1$  oder  $2$

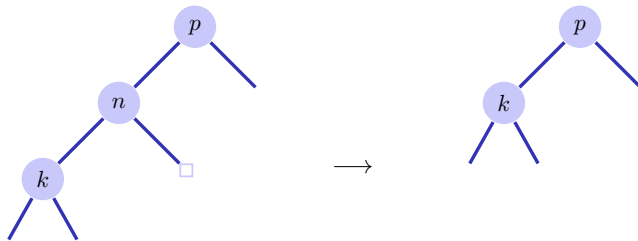
- $h' = 1$ :  $\text{bal}(p)$  anpassen.
- $h' = 0$ :  $\text{bal}(p)$  anpassen. Aufruf **upout**( $p$ ).
- $h' = 2$ : Rebalancieren des Teilbaumes. Aufruf **upout**( $p$ ).



# Löschen

Fall 2: Knoten  $n$  hat einen inneren Knoten  $k$  als Kind

- Ersetze  $n$  durch  $k$ . **upout(k)**



# Löschen

Fall 3: Knoten  $n$  hat zwei inneren Knoten als Kinder

- Ersetze  $n$  durch symmetrischen Nachfolger. **upout(k)**
- Löschen des symmetrischen Nachfolgers wie in Fall 1 oder 2.

## upout (p)

Sei  $pp$  der Elternknoten von  $p$

(a)  $p$  linkes Kind von  $pp$

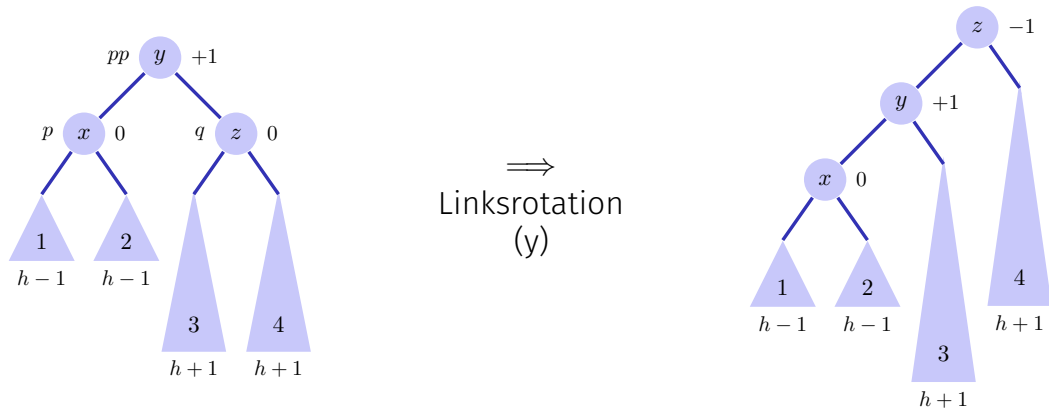
1.  $\text{bal}(pp) = -1 \Rightarrow \text{bal}(pp) \leftarrow 0$ . **upout (pp)**
2.  $\text{bal}(pp) = 0 \Rightarrow \text{bal}(pp) \leftarrow +1$ .
3.  $\text{bal}(pp) = +1 \Rightarrow$  nächste Folien.

(b)  $p$  rechtes Kind von  $pp$ : Symmetrische Fälle unter Vertauschung von  $+1$  und  $-1$ .

# upout (p)

Fall (a).3:  $\text{bal}(pp) = +1$ . Sei  $q$  Bruder von  $p$

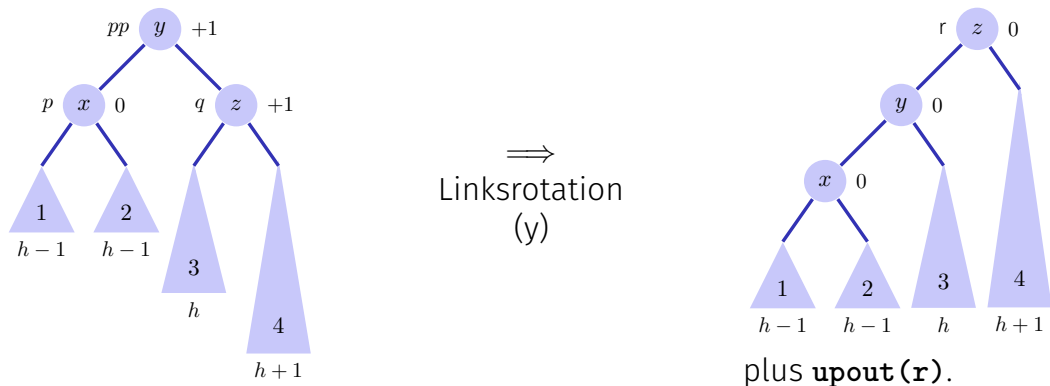
(a).3.1:  $\text{bal}(q) = 0$ .<sup>9</sup>



<sup>9</sup>(b).3.1:  $\text{bal}(pp) = -1$ ,  $\text{bal}(q) = -1$ , Rechtsrotation.

# upout (p)

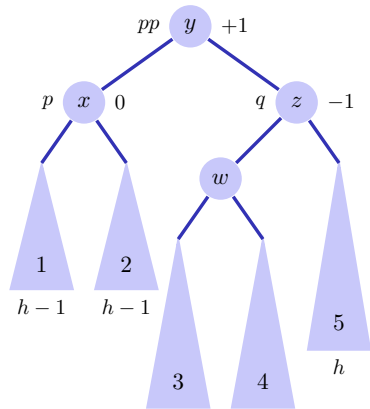
Fall (a).3:  $\text{bal}(pp) = +1$ . (a).3.2:  $\text{bal}(q) = +1$ .<sup>10</sup>



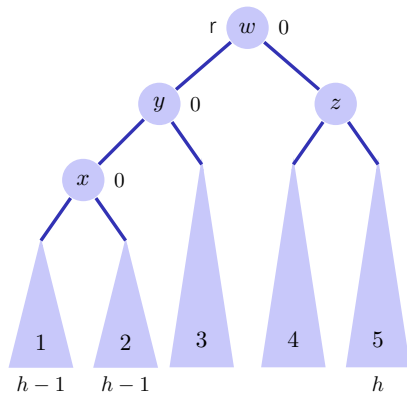
<sup>10</sup>(b).3.2:  $\text{bal}(pp) = -1$ ,  $\text{bal}(q) = +1$ , Rechtsrotation+upout

# upout (p)

Fall (a).3:  $\text{bal}(pp) = +1$ . (a).3.3:  $\text{bal}(q) = -1$ .<sup>11</sup>



$\Rightarrow$   
Doppelrotation  
rechts (z) links  
(y)



plus **upout (r)**.

<sup>11</sup>(b).3.3:  $\text{bal}(pp) = -1$ ,  $\text{bal}(q) = -1$ , Links-Rechts-Rotation + upout

# Zusammenfassung

- AVL-Bäume haben asymptotische Laufzeit von  $\mathcal{O}(\log n)$  (schlechtester Fall) für das Suchen, Einfügen und Löschen von Schlüsseln
- Einfügen und Löschen ist verhältnismässig aufwändig und für kleine Probleme relativ langsam.